

квантовой задачи, например энергия ротатора, будут существенно отклоняться от своих классических значений. Исходя из этого можно дать оценку для времени t^* , с которого начинается ограничение диффузии по энергии:

$$t^* \sim t_0 \sim k^2 \quad (2.10)$$

Эта оценка совпадает с оценкой (1.12), полученной выше другим методом. Следует однако отметить, что, строго говоря, из полученных теоретических оценок § 2 можно получить только ограничение на время $t^* : t^* \geq t_0$. Так в ряде случаев, которые в дальнейшем будут обсуждаться особо (§ 9), время $t^* \gg t_0$. Дополнительные эксперименты (§ 3) проведенные с моделью (1.1) согласуются с оценкой (2.10).

Отметим, что в рассматриваемой системе (1.1) параметры квазиклассического приближения k , T не зависят от номера уровня n , и поэтому диффузия вверх по уровням не улучшает квазиклассического приближения. Вместе с тем во многих системах с увеличением n это приближение улучшается (см. ниже). Можно поэтому ожидать, что при достаточно быстрой диффузии квантовые поправки в таких системах будут нарастать значительно медленнее, чем в (1.1).

В качестве примера рассмотрим систему с гамильтонианом (1.1), в котором k степенным образом зависит от времени: $k(t) = k_0 t^\alpha$ (см. § 1). Как правило, k является растущей функцией действия $k = k(I)$, а следовательно и времени, так как при наличии стохастичности I растет со временем, что и отражено в выбранной модели, удобной также для численного исследования. Тем не менее надо отметить, что в системах с $k = k(I)$ ситуация оказывается более сложной (см. § 4) и поэтому эту мо-

Здесь следует рассматривать лишь как грубый пример.

При $k_0 T > 1$ переменная x уже после нескольких толчков становится случайной и среднее изменение p за один толчок равно

$$\langle |\Delta p(t)|^2 \rangle = k_0^2 t^{2\alpha} \langle \sin^2 x(t) \rangle = \frac{k_0^2 t^{2\alpha}}{2}.$$

Отсюда находим закон диффузионного роста энергии ($\langle \Delta p \rangle = 0$):

$$E(t) \approx \frac{k_0^2}{4(1+2\alpha)} t^{1+2\alpha} + E(0). \quad (2.11)$$

Выражение для δ_1 получается таким же как и (2.7), но теперь уже с $k = k(j)$. В среднем $|\delta_1|^2$ растет как

$$\langle |\delta_1|^2 \rangle \sim \sum_{j=0}^t \frac{1}{k^2(j)} \approx \frac{t^{1-2\alpha}}{k_0^2(1-2\alpha)}. \quad (2.12)$$

Из (2.12) следует, что при $\alpha > 1/2$ поправки всегда малы и зависимость энергии от времени описывается (2.11) на всех временах, что также совпадает с выводом, полученным в § I.

Граничным значением является $\alpha > 1/2$. В этом случае диффузионный масштаб $t^* \sim t_0 \sim \exp(k_0^2)$. При $0 \leq \alpha < 1/2$ квазиклассическое приближение справедливо для

$$t \leq t_0 \sim [k_0^2(1-2\alpha)]^{1/(1-2\alpha)} \quad (2.13)$$

и в течение этого времени происходит рост энергии по классическому закону. Последняя оценка отличается от оценки (I.15) множителем $(1-2\alpha)$, который, однако, является существенным только для $\alpha \approx 1/2$.

Рассмотрим теперь как в более общем случае, используя результаты Маслова /51,52/, можно определить масштаб времени, на котором применимо квазиклассическое приближение для СКС.

Пусть классическая система описывается гамильтонианом

$H = H_0(J) + \varepsilon V(J, x, \tau)$, где J, x - действие и фаза невозмущенной задачи, $\varepsilon \ll 1$. В этом случае для исследования квантовых поправок достаточно ограничиться разложением H вблизи начального J_0 вплоть до членов $(\Delta J)^2$. При $J_0/\hbar \gg 1$ стандартное квантование [12, 14] приводит к гамильтониану:

$$H = \omega \hat{I} + \gamma \hat{I}^2 + \varepsilon [V(J_0, x, \tau) + \frac{1}{2} (\hat{I} V_1(x, \tau) + V_1(x, \tau) \hat{I}) + \frac{1}{2} \hat{I} V_2(x, \tau) \hat{I}] \quad (2.14)$$

где

$$\omega = \left. \frac{dH_0}{dJ} \right|_{J=J_0}, \quad \gamma = \frac{1}{2} \left. \frac{d\omega}{dJ} \right|_{J=J_0}, \quad V_1 = \left. \frac{dV}{dJ} \right|_{J=J_0},$$

$$V_2 = \left. \frac{d^2V}{dJ^2} \right|_{J=J_0}, \quad I = J - J_0, \quad \hat{I} = -i\hbar \frac{\partial}{\partial x}.$$

Следуя [51, 52], получим асимптотическое квазиклассическое разложение для волновой функции, удовлетворяющей уравнению Шредингера с гамильтонианом (2.14) и начальным условием $\Psi(x, \tau=0) = \varphi_0(x) \exp(iS_0(x)/\hbar)$:

$$\Psi(x, \tau) = \sum_{\ell=1}^N |J_\ell|^{-1/2} \exp\left(\frac{i}{\hbar} S_\ell(x, \tau) - i\frac{\pi}{2} \mu_\ell\right) \cdot \left\{ \sum_{m=0}^{\infty} [\hat{L}_\ell^m \varphi_0(x_0)] \Big|_{x_0=x_0^\ell(x, \tau)} \right\}, \quad (2.15)$$

где суммирование по ℓ проводится по всем классическим траекториям, проходящим в точку x в момент времени τ и удовлетворяющим начальным условиям:

$$x_0(x, \tau) = x_0^\ell; \quad I_0(x_0) = \left. \frac{\partial S}{\partial x_0} \right|_{x_0=x_0^\ell};$$

$$J_\ell = \left. \frac{\partial x(x_0, \tau)}{\partial x_0} \right|_{x_0=x_0^\ell}.$$

$S_\ell(x, \tau)$ - действие вдоль классической траектории, соединяющей x_0^ℓ и x ; μ_ℓ - индекс Морса, а оператор \hat{L}_ℓ определяется посредством

$$\hat{L}_\varepsilon \varphi_0(x_0) = i\hbar \int_0^{\tau} \left\{ \left(\gamma + \frac{\varepsilon}{2} V_2 \right) |\mathcal{J}_e|^{1/2} \left(\mathcal{J}_e^{-1} \frac{\partial}{\partial x_0} \right)^2 (|\mathcal{J}_e|^{-1/2} \varphi_0) + \right. \\ \left. + \frac{\varepsilon}{2} |\mathcal{J}_e|^{-3/2} \frac{\partial V_2}{\partial x_0} \frac{\partial}{\partial x_0} (|\mathcal{J}_e|^{-1/2} \varphi_0) \right\} d\tau. \quad (2.16)$$

Сумма по m есть фактически разложение по степеням \hbar . Основная квантовая поправка дается членом с $m = 1$, т.е. выражением (2.16). С точностью до членов, не нарастающих со временем, для ее вычисления достаточно дифференцировать только якобиан $\mathcal{J}_e(x_0)$. Определим квантовую поправку $\delta_1^{(e)}$ равенством: $\hat{L}_\varepsilon \varphi_0 \approx \delta_1^{(e)} \varphi_0$. Тогда из (2.16) находим

$$|\delta_1^{(e)}| = \left| i\hbar \int_0^{\tau} \left\{ \left(\gamma + \frac{\varepsilon}{2} V_2 \right) \left[\frac{5}{4} \mathcal{J}_e^{-4} \left(\frac{\partial \mathcal{J}_e}{\partial x_0} \right)^2 - \frac{1}{2} \mathcal{J}_e^{-3} \frac{\partial^2 \mathcal{J}_e}{\partial x_0^2} \right] - \frac{\varepsilon}{4} \mathcal{J}_e^{-3} \frac{\partial V_2}{\partial x_0} \frac{\partial \mathcal{J}_e}{\partial x_0} \right\} d\tau \right| \ll 1 \quad (2.17)$$

Последнее неравенство и есть условие применимости квазиклассического приближения. При этом интеграл по времени в (2.17) следует понимать в смысле разности первообразных в моменты времени τ и 0. Так как в промежуточные моменты времени \mathcal{J}_e может обращаться в ноль (прохождение каустики), то результат интегрирования не является знакоопределенным. Поскольку $\mathcal{J}_e \sim \exp(\hbar\tau)$; $\frac{\partial \mathcal{J}_e}{\partial x_0} \sim \exp(2\hbar\tau)$; $\frac{\partial^2 \mathcal{J}_e}{\partial x_0^2} \sim \exp(3\hbar\tau)$, то δ_1 растет не быстрее τ и таким образом квазиклассическое приближение применимо на временах $t_0 \propto 1/\hbar$.

Рассмотрим теперь специальный вид возмущения: $\varepsilon V(I, x) q(\tau)$, где $q(\tau)$ имеет вид толчков, действующих в течение времени T_0 и следующих друг за другом с интервалом T ($T \gg T_0$). Пусть изменение действия за время толчка равно ΔI и выполнен критерий стохастичности $K \approx \gamma T \Delta I \gg 1$ [4, 6, 36]. Разбивая интеграл в (2.17) на сумму интегралов по интервалам $T + T_0$ и учитывая, что члены суммы статистически независимы из-за стохастичности классической системы, а $\mathcal{J}(Tt + T_0 + \tau) \sim \mathcal{J}(Tt + T_0) (1 + K \frac{\tau}{T})$;

$\frac{\partial^n J}{\partial x_0^n} \sim J^{n+1} (Tt + T_0) \cdot (1 + K \frac{\tau}{T})$, получим, что $\delta_1^{(e)}$ в среднем растёт по закону

$$\langle |\delta_1^{(e)}|^2 \rangle \sim \hbar^2 \sum_{j=0}^t \left(\frac{1}{\Delta \bar{I}_e(j)} + \gamma^{(e)} T_0 \right)^2, \quad (2.18)$$

где $\Delta \bar{I}_e(j) = \langle (\Delta I_e(j))^2 \rangle^{1/2}$ — изменение действия за толчок, усредненное по случайной переменной χ . Так как $\Delta I \sim \varepsilon$, то членами εV_2 в (2.17) можно пренебречь.

Вычислим, в качестве примера, квантовую поправку для системы (I.1), используя (2.17). Согласно (I.2), (I.3) получаем выражение для $\rho(\tau)$, $\chi(\tau)$ на интервале между соседними толчками ($\hbar = 1$):

$$\begin{aligned} \rho(\tau) &= \rho_t + k \sin x_t, \\ \chi(\tau) &= \chi_t + \rho_t \tau + k \tau \sin x_t, \end{aligned} \quad (2.19)$$

где ρ_t, χ_t — значение переменных непосредственно перед последним толчком. Из (I.3) следует соотношение:

$$\frac{\partial \chi_t}{\partial x_0} = (kT)^{t-1} \cos x_{t-1} \cos x_{t-2} \dots \cos x_0 + O\left(\frac{1}{kT}\right),$$

согласно которому имеем

$$\frac{\partial \chi(\tau)}{\partial x_0} = \frac{\partial \chi_t}{\partial x_0} (1 + k\tau \cos x_t) + O\left(\frac{1}{kT}\right);$$

$$\frac{\partial^2 \chi(\tau)}{\partial x_0^2} = -\left(\frac{\partial \chi_t}{\partial x_0}\right)^2 k\tau \sin x_t + O\left(\frac{1}{kT}\right);$$

$$\frac{\partial^3 \chi(\tau)}{\partial x_0^3} = -\left(\frac{\partial \chi_t}{\partial x_0}\right)^3 k\tau \cos x_t + O\left(\frac{1}{kT}\right).$$

Разбивая интеграл в (2.17) на сумму интегралов от t до $t+1$, получим

$$\begin{aligned} \delta_1^{(e)} &= \frac{i}{2} \sum_{j=0}^t \int_0^T \left\{ \frac{5}{4} \frac{(k\tau)^2 \sin^2 x_j^e}{(1 + k\tau \cos x_j^e)^4} + \right. \\ &\quad \left. + \frac{1}{2} \frac{k\tau \cos x_j^e}{(1 + k\tau \cos x_j^e)^3} \right\} d\tau + O\left(\frac{1}{kT}\right). \end{aligned}$$

После интегрирования получаем выражение (2.7) и далее (2.8).

Можно показать, что и для непрерывной классической системы сохраняются соотношения $\frac{\partial J}{\partial x_0} \sim J^2$; $\frac{\partial^n J}{\partial x_0^n} \sim J^{n+1}$. Тогда интеграл в (2.17) можно разбить на сумму интегралов по интервалам времени $\Delta \tau \sim 1/h$, которые уже будут статистически независимыми, и таким образом получим

$$|\delta_1^{(l)}|^2 \sim \hbar^2 \int_0^\tau (\gamma^{(l)}/\hbar)^2 \hbar d\tau \ll 1 \quad (2.20)$$

При $\gamma = \text{const}$ (2.20) дает $\delta_1 \sim \frac{\hbar \gamma}{h} (h\tau)^{1/2}$. Так, например, если

$$H = \gamma \frac{I^2}{2} + k \sum_{m=-M}^M \cos(x + m\Omega\tau + \varphi_m),$$

где φ_m — набор случайных фаз и $M \gg S = (k\gamma)^{1/2}/\Omega \gg 1$, то $h \sim \Omega S^{4/3}$ /3/ и диффузионный масштаб $\tau^* \sim \tau_0 \sim \hbar / (\hbar^2 \gamma^2)$.

Таким образом для широкого класса систем удается выяснить условия применимости квазиклассического приближения. Вместе с тем задача об особенностях квантовой динамики на больших временах требует дальнейшего исследования.

§ 3. Численные эксперименты

Для проверки полученных результатов проводилось численное исследование модели (I.1). При решении уравнения Шредингера использовалось то, что действие толчка сводится к умножению волновой функции на $\exp(-iV(x))$. Затем при помощи быстрого преобразования Фурье (БПФ) находились ее фурье-компоненты A_n , для которых свободное вращение давало сдвиг в фазе $-i \frac{Tn^2}{2}$. По полученным значениям A_n путем БПФ находилась волновая функция и т.д. При этом число уровней достигало $N_L = 4097$ (-2048, 2048), но ввиду симметрии начальных условий $\Psi(x) = \Psi(-x)$ и гамильтониана (I.1) счет фактически велся с 2049 уровнями.

Контроль за точностью счета заключался в проверке совпадения результатов (до 1%) при изменении N_L в два раза и малой населенности $|A_n|^2$ верхних уровней. Кроме того, был проведен проверочный счет на совпадение (до 10^{-7}) результатов с /49/ при одинаковых условиях. Основное ограничение на длительность счета накладывает конечность выбранного числа уровней. При достаточно большом возмущении, особенно при $k = k(t)$, происходит быстрое возбуждение высоких уровней системы и ошибки счета становятся значительными. Время счета на БЭСМ-6 в типичных экспериментах ($N_L = 1025$, $t = 300$) составляло 10 мин.

Начальные условия варьировались в широких пределах (см. § I). Существенной зависимости от начальных условий не наблюдалось.

При обработке результатов счета вычислялась энергия ротатора

$E = \frac{1}{2} \sum_{n=-\infty}^{\infty} n^2 |A_n|^2$ и одновременно строились графики зависимости энергии от времени и функции распределения $f(n)$ в нормированных координатах:

$$X = \frac{n^2(1+2\alpha)}{k_0^2 t^{1+2\alpha}}, \quad f_N(n) = |A_n|^2 \sqrt{\frac{\pi k_0^2}{(1+2\alpha)}} t^{1+2\alpha}. \quad (3.1)$$

Чтобы проверить существенно ли влияние каустик и островков устойчивости /6/ при квантовом рассмотрении, была исследована система, которая не имеет каустик и в которой мера устойчивой компоненты (островков) строго равна нулю /1/. Это модель того же ротатора, но с другим внешним возмущением по X :

$$V(x) = \begin{cases} -\frac{x^2}{2}, & 0 \leq x \leq \frac{\pi}{2} \\ \frac{(x-\pi)^2}{2} - \frac{\pi^2}{4}, & \frac{\pi}{2} \leq x \leq \pi \end{cases}; \quad (3.2)$$

$$V(x) = V(x + 2\pi); \quad V(x) = V(-x).$$

Классическую динамику системы можно описывать отображением, аналогичным (I.3):

$$\bar{p} = p - k \frac{\partial V}{\partial x}, \quad \bar{x} = x + T\bar{p}. \quad (3.3)$$

При $kT > 4$ движение становится полностью стохастическим и энергия растет по диффузионному закону:

$$E(t) = \frac{\pi^3 k^2}{12} t + E(0). \quad (3.4)$$

Исследование квантовой задачи (3.2) показало, что качественное поведение системы остается таким же как и в системе (I.I) — начиная с некоторого времени t^* скорость диффузии по энергии резко падает. Это качественная неизменность движения указывает на то, что замедление диффузии не связано с наличием каустик и островков устойчивости. Отметим, что в отличие от (I.I) фурье-спектр толчка $\exp(-ikV(x))$ спадает всего лишь степенным образом $\sim n^{-3}$ (здесь оказалось незаменимым БПФ) и уже один толчок связывает практически все уровни, в то время как в (I.I) один толчок захватывает с экспоненциальной точностью $\approx 2k$ уровней.

Для системы (I.I) было проведено сравнение более тонких характеристик классической и квантовой задач, а именно — зависимости коэффициента диффузии D на временах меньших t^* от параметра kT (для классической системы этот вопрос изучался в /6/, /6I/). Результаты экспериментов (см. рис.3) указывают на хорошее согласие зависимостей $D(kT)$ для классического (данные работы /6I/) и квантового случаев (начальные условия в квантовой системе — основное состояние с $n = 0$). Для квантовой модели наблюдаются такие же осцилляции D и с тем же периодом, что и в классике.

Для проверки теоретических предсказаний, изложенных в §§I,2, был проведен ряд дополнительных численных экспериментов для мо-

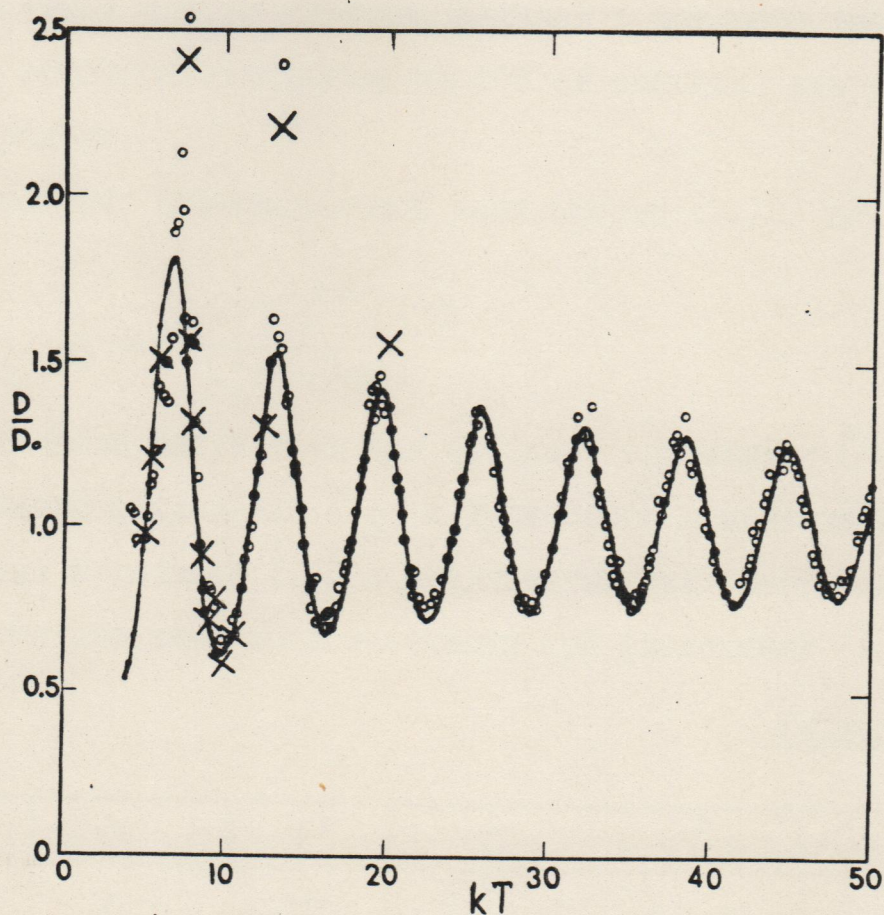


Рис.3. Зависимость коэффициента D от параметра kT :
 \circ - экспериментальные значения для классической системы (I.2), гладкая кривая - теоретическая зависимость для (I.2), взяты из работы /61/; \times - экспериментальные значения для квантовой системы (I.1) с $k \approx 40$; $D_0 = k^2/4$.

дели ротатора (I.I) с $k = \text{const}$ и $k(t) = k_0 t^\alpha$.

По численным данным определялось время t^* , в течение которого диффузия близка к классической. При этом за значение t^* принимался такой момент времени, начиная с которого энергия квантового ротатора отличалась на 25% от значения энергии в классическом пределе.

Для проверки функциональной зависимости (2.I2) вычислялась величина

$$\delta = \left[\frac{(t^*)^{1-2\alpha}}{k_0^2(1-2\alpha)} \right]^{1/2} \quad (3.5)$$

Экспериментальные результаты для среднего значения $\langle \delta \rangle$, среднеквадратичного отклонения σ_δ и диапазонов изменения параметров приведены в таблице I. Эти результаты показывают, что в согласии с теоретическими предсказаниями при увеличении k и α

Таблица I

kT	k	α	t^*	δ	$\langle \delta \rangle$	$\sigma_\delta / \langle \delta \rangle$
5-36	5-80	0	5-320	0,14-0,50	0,27	0,32
5-10	5-10	0,1-0,35	40-500	0,53-1,7	1,1	0,31

ростом α время t^* резко возрастает. При $k = \text{const}$ зависимость t^* от k можно аппроксимировать степенным законом $t^* = C k^\beta$.

Подгонка по методу наименьших квадратов дает: $\langle \lg C \rangle = -0.44$, $\langle \beta \rangle = 1.5$. Теоретическая зависимость

$$t^* = C k^2 \quad (3.6)$$

(см. (I.I2), (2.I0), (3,5), $C = \delta^2$) оказывается в пределах разброса экспериментальных данных с $\langle \lg C \rangle = -1.19$ (см.рис.4).

К сожалению, более точной проверки функциональной зависимости (2.I2) провести не удастся из-за ограниченности числа уровней

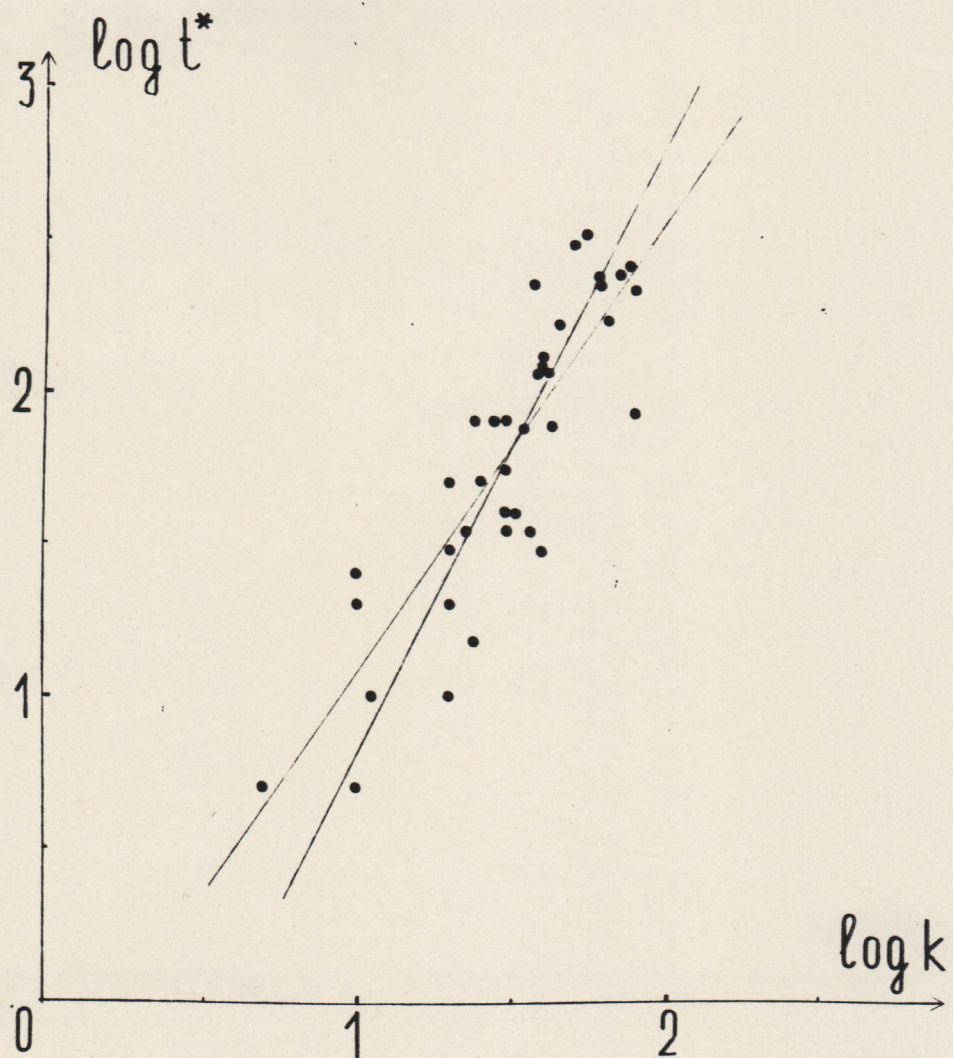


Рис.4. Зависимость времени квантового ограничения диффузии t^* от параметра k . Точки - экспериментальные значения, две прямые линии соответствуют линейной интерполяции (наклон $\beta = 1.5$) и теоретической формуле (3.6) (наклон $\beta = 2$); логарифм десятичный.

модели и резкого возрастания времени счета при увеличении k и α . Замедление роста энергии удается отчетливо наблюдать лишь для $\alpha < 0,35$. Важно отметить, что при $\alpha \geq 0,35$ не только закон диффузии совпадает с классическим (рис.5), но и функ-

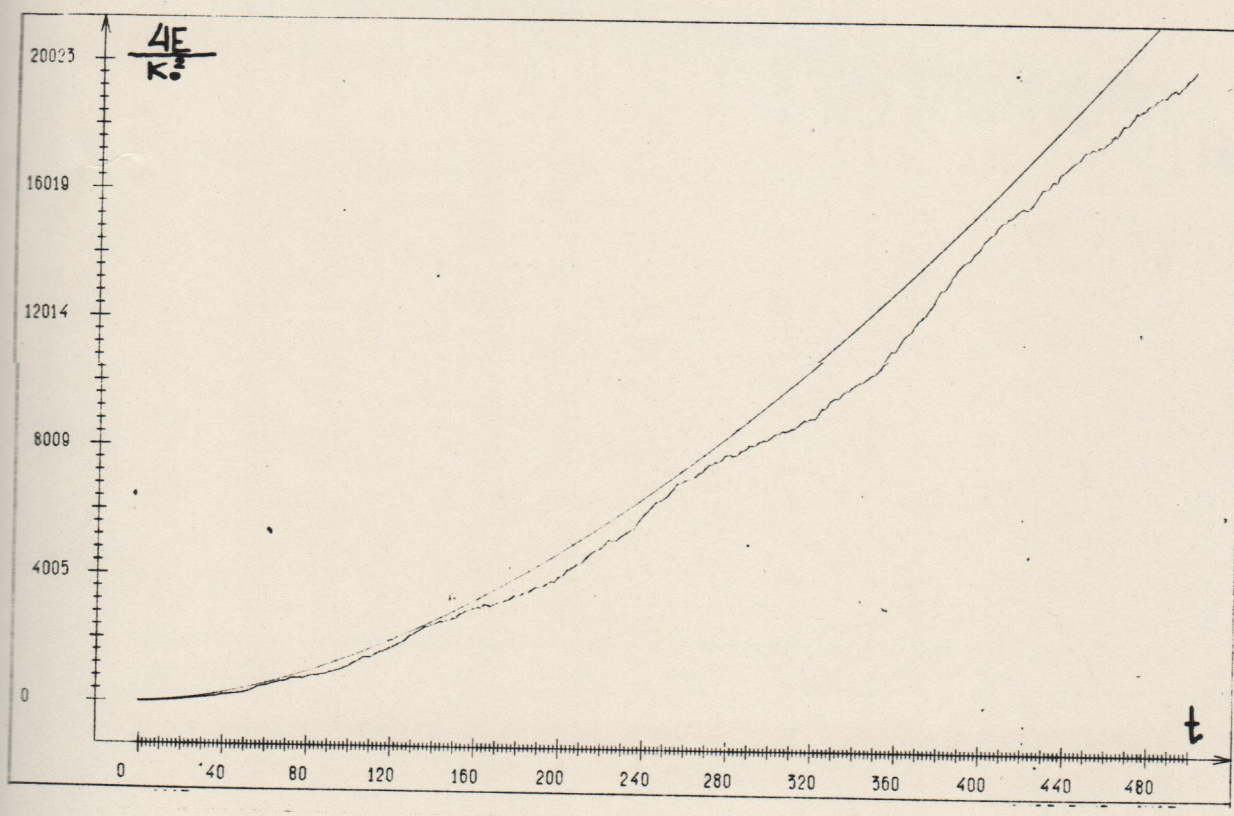


Рис.5. Зависимость энергии ротатора E от времени для системы (I.I) с $k=k_0 t^\alpha$, $k=5$, $T=1$, $\alpha=0,35$, $t=500$. Плавная линия соответствует классической диффузии (2.II). Ломаная линия - экспериментальный результат.

ция распределения системы по уровням близка к классическому гауссову распределению (рис.6).

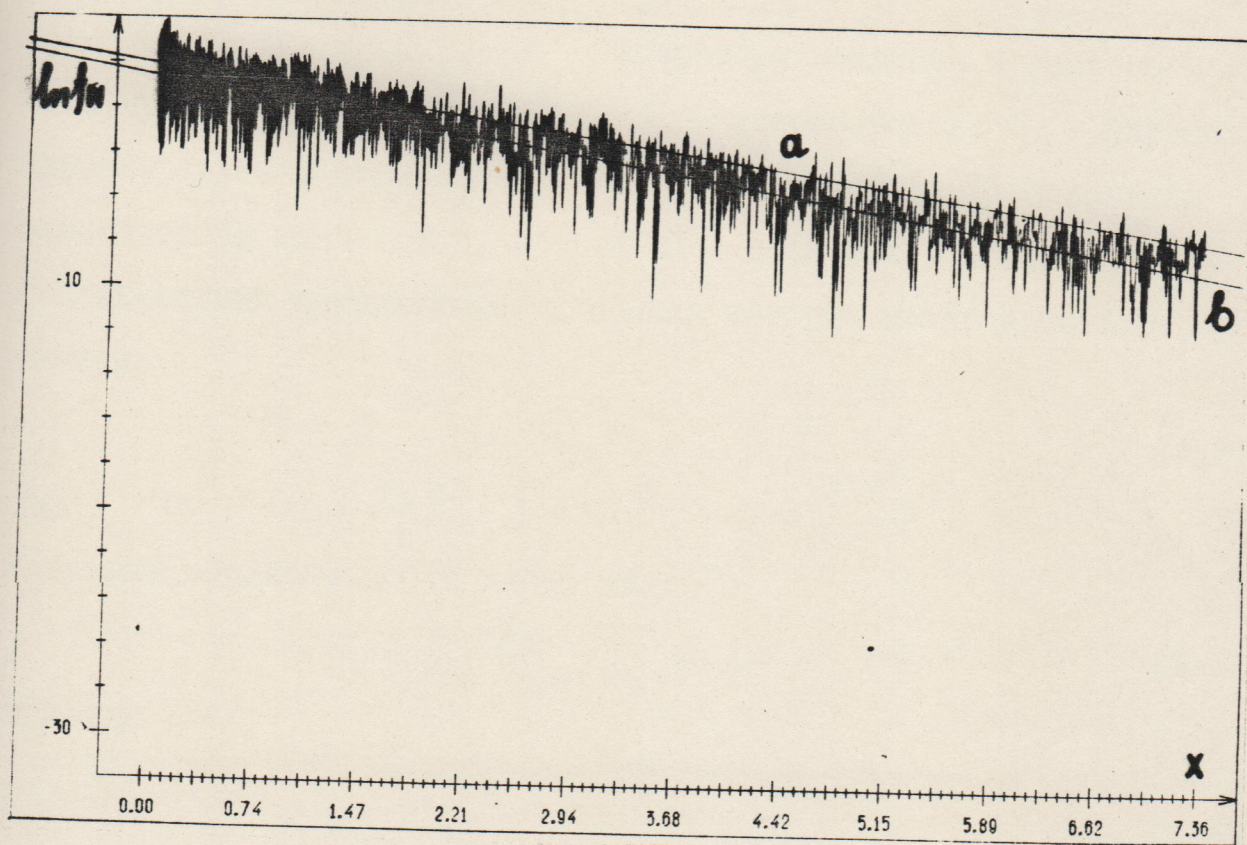


Рис.6. Функция распределения по невозмущенным уровням системы (I.I) с $k = k_0 t^\alpha$ в нормированных координатах $f_N(n)$ и X (см.(3.1)) для значений рис.5. Прямая "а" соответствует теоретической формуле (3.1), "в" - линейная интерполяция, ломаная линия - экспериментальный результат.

§ 4. Модель нелинейного квантового осциллятора

Рассмотрим нелинейный осциллятор с внешним возмущением, описываемый гамильтонианом:

$$\hat{H} = \omega_0 \hat{I} + \gamma \hat{I}^2 + \tilde{g}_0 (\hat{a}^+ + \hat{a}) \delta_{\tilde{T}}(\tau), \quad (4.1)$$

где $\hat{I} = \hat{a}^+ \hat{a}$; \hat{a}^+ , \hat{a} — операторы рождения и уничтожения с коммутатором $[\hat{a}, \hat{a}^+] = \hbar$, γ — нелинейность; \tilde{g}_0 — параметр, характеризующий возмущение. При $[\hat{a}, \hat{a}^+] = 0$ (4.1) описывает классический осциллятор, а \hat{a}^+ и \hat{a} — становятся классическими каноническими переменными, динамику которых можно задать отображением:

$$\bar{a} = e^{-i\omega\tilde{T}} a - \tilde{g}_0, \quad (4.2)$$

где $\omega = \omega_0 + 2\gamma I$; $I = |a|^2$; $a = \sqrt{I} e^{i\theta}$.

Критерий стохастичности имеет вид:

$$K = 2\gamma\tilde{T}\tilde{g}_0\sqrt{I_0} \gg 1 \quad (4.3)$$

и тогда /36/:

$$\begin{aligned} I(t) &= I_0 + \tilde{g}_0^2 t, \\ (I - I_0)^2 &= 2\tilde{g}_0^2 I_0 t + 2\tilde{g}_0^4 t^2. \end{aligned} \quad (4.4)$$

В случае, когда система (4.1) является квантовой, удобно описывать ее динамику через амплитуды A_n невозмущенных состояний (ср. § I):

$$\begin{aligned} i\dot{A}_n &= (\omega_0 n + \hbar\gamma n^2) A_n + \\ &+ g_0 (\sqrt{n+1} A_{n+1} + \sqrt{n} A_{n-1}) \delta_{\tilde{T}}(\tau), \end{aligned} \quad (4.5)$$

где $g_0 = \tilde{g}_0 / \sqrt{\hbar}$; $T = \hbar\tilde{T}$; $n = I/\hbar$ — номер уровня невозмущенной системы. Примем далее $\hbar = 1$.

Проведенные численные эксперименты показали, что качественно динамика системы (4.1) похожа на (1.1). Как и для квантового

ротатора с некоторого момента времени t^* начинается замедление диффузионного роста величин I и $(I - I_0)^2$. Значения t^* для некоторых параметров представлены в таблице 2 (t^* определялось численно также как в § 3). Из данных таблицы 2 видно, что время

$$\omega_0 T = 1000; \gamma T = 1; \quad \text{Таблица 2}$$

q_0	n_0	t^*	δ_{cr}
1	0	29	2,45
1	15	30	1,32
1	31	55	1,22
1	63	51	0,87
1	83	70	-
1,5	0	15	1,12
2	0	40	1

квантового ограничения диффузии t^* растет с увеличением параметров q_0 и n_0 (n_0 — начальный уровень). Существенно, что диффузионное возбуждение осциллятора может происходить прямо из основного состояния (рис. 7). Как показали численные эксперименты необходимым условием такого возбуждения является, как и в модели (I. I), превышение квантовой границы устойчивости $q_0 \geq 1$ (в возбужденном состоянии $q_0 \sqrt{n_0} \geq 1$) и выполнение классического критерия стохастичности (4.3). Проведены были также эксперименты с периодическим возмущением обладающим конечной длительностью толчка — $\delta_T(\tau)$ в (4.1) заменялось ступенчатой функцией
$$\vartheta_T(\tau) = \sum_{n=-\infty}^{\infty} \vartheta(\tau - nT) \quad (\vartheta(\tau) = \frac{1}{T_0} \text{ при } 0 \leq \tau \leq T_0, \text{ а вне этого интервала ноль}).$$
 Никакой существенной зависимости от T_0 при изменении его в интервале $0 \leq T_0 \leq 10^{-2}/\gamma$ не наблюдалось.

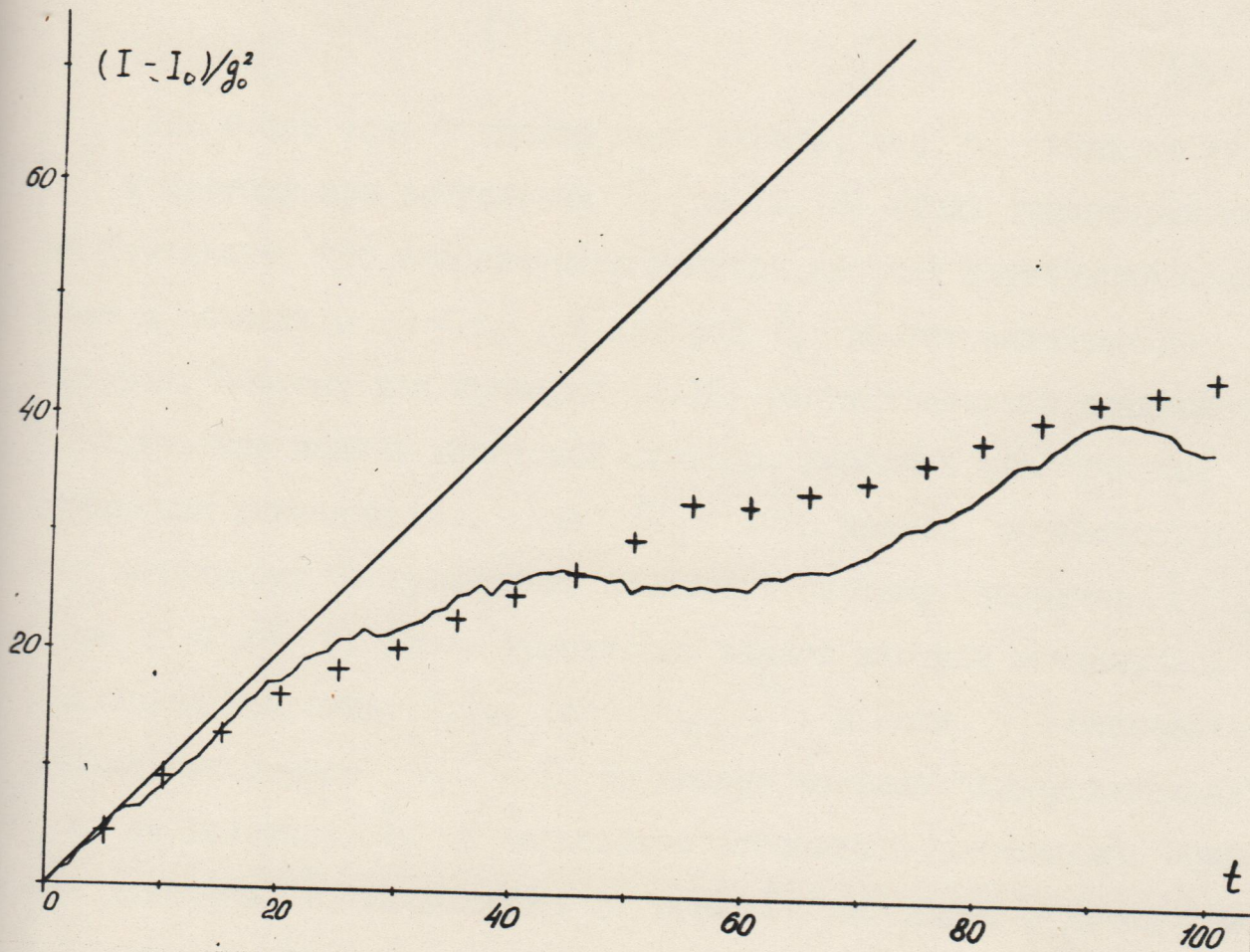


Рис. 7. Зависимость действия нелинейного осциллятора от времени для системы (4.1) с $\Pi_0 = 0$; $Q_0 = 1$; $\omega_0 T = 1000$; $\gamma T = 1$. Прямая линия соответствует классической диффузии (4.4), ломаная линия - численный результат; + - модель "замороженных частиц".

Время квантового ограничения диффузии может быть получено на основе результатов § 2. Действительно, используя (2.18) при $q_0^2 \ll n_0$ и соотношение $\Delta I \approx 2q_0 \sqrt{I} \cos \Theta$, получим грубую оценку для t^* :

$$t^* \sim q_0^2 n_0. \quad (4.6)$$

Для более точной оценки надо учесть, что ΔI зависит от I и поэтому при вычислении δ_1 по (2.18) вдоль траектории надо учитывать, что классическая частица за счет флуктуаций попадает в область с $I < I_0$, в которой δ_1 растет значительно быстрее. Поэтому для проверки (2.18) рассматривалась следующая классическая модель квантовой системы. Решались классические уравнения движения (4.2) для $N_0 = 1000$ частиц, соответствующих начальному распределению квантовой системы (например, $I = I_0$, $0 \leq \Theta \leq 2\pi$). Вдоль траектории каждой частицы вычислялась квантовая поправка (2.18) (с $\Delta I = q_0 I_\ell^{1/2}$) и если $\delta_1^{(\ell)}$ становилась больше некоторого $\delta_{cr} \sim 1$, то данная частица "замораживалась", т.е. ее действие I_ℓ в дальнейшем оставалось постоянным. Среднее действие I вычислялось по всем N_0 частицам, включая "замороженные". "Замораживание" частиц в классической системе (4.2) соответствует тому эмпирическому факту, что в случае, когда квантовые поправки велики ($\delta_1^{(\ell)} \geq 1$) скорость диффузии резко падает (мы приняли, что эта скорость падает до нуля). Возможность представления квантового состояния в виде пучка классических траекторий вытекает из малости интерференционных членов при $|\delta_1| \lesssim 1$ (см. § 2).

Критическое значение δ_{cr} определялось из того условия, чтобы I , вычисленное в модели "замороженных частиц", было близко к своему квантовому значению. Оказалось, что варьируя этот единственный параметр (см. табл. 2) в небольшом интервале, можно

добиться хорошего совпадения квантовых характеристик с характеристиками модели "замороженных частиц" (см. рис. 7, 8) для широкого набора параметров Π_0 , \mathcal{Q}_0 (см. табл. 2). Это указывает на

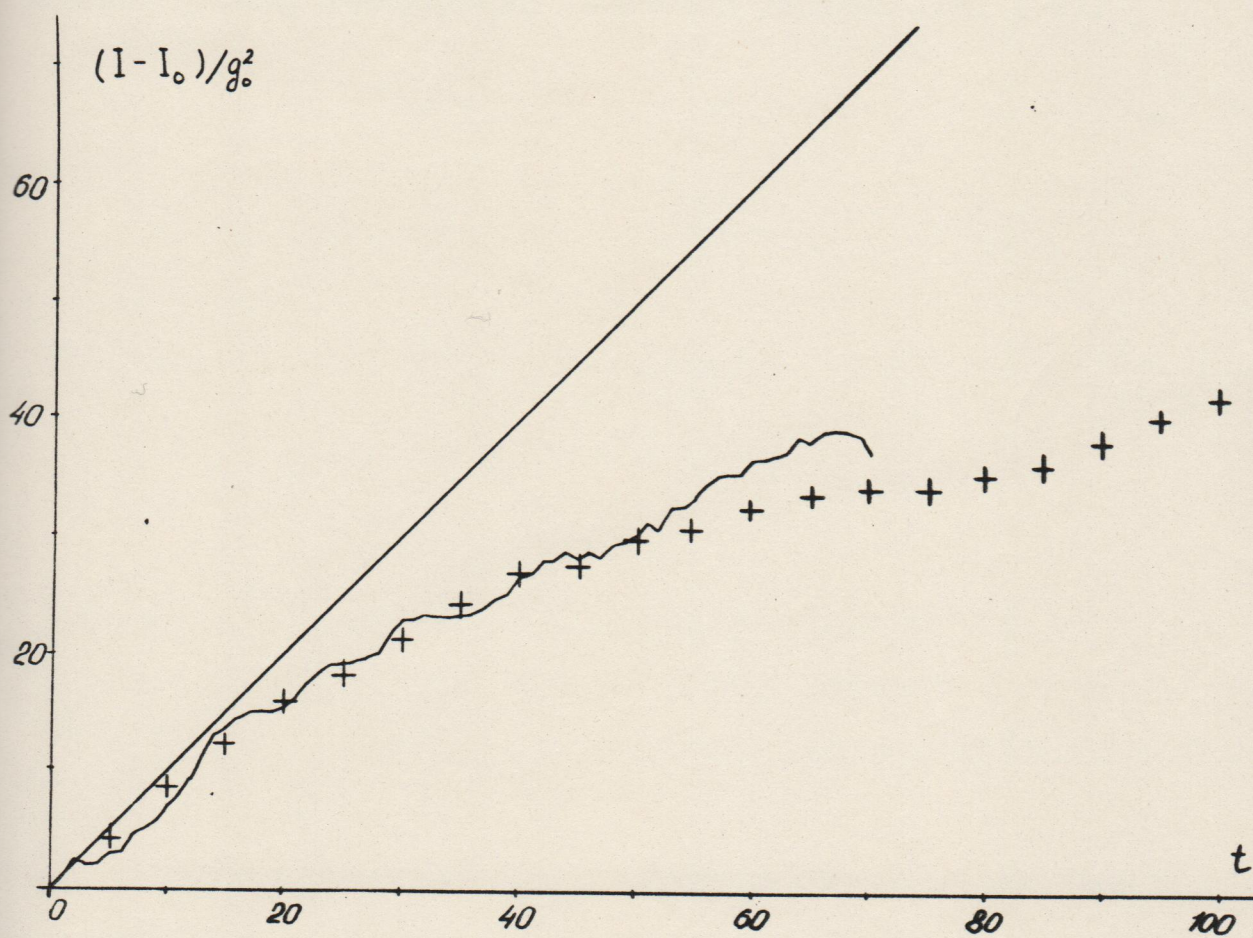


Рис. 8. То же, что и на рис. 7 при $\Pi_0 = 15$.

справедливость оценки (2.18), а также на то, что с помощью предложенной классической модели можно описывать квантовую динамику системы (4.1) на временах, значительно превышающих t^* . Такое классическое моделирование квантовой динамики на основе модели "замороженных частиц" может быть применено и для более сложных систем, где такой подход во всяком случае позволяет определить нижнюю границу возбуждения квантовой системы (см. § 2).

Г Л А В А П

КВАНТОВЫЕ КОРРЕЛЯЦИИ

§ 5. Квантовые операторные отображения.

Основными типичными свойствами классических стохастических систем являются положительность КС-энтропии /57,58,2,6/ и, как правило, экспоненциальное затухание разновременных корреляций. На примере модели (I.I) покажем, что квантовые системы стохастические в классическом пределе такими свойствами не обладают /47/.

При исследовании квантовой системы (I.I) будем исходить из уравнений для гейзенберговских операторов, которые после интегрирования на периоде \tilde{T} переходят в операторное отображение:

$$\begin{aligned} \hat{p}_{t+1} &= \hat{p}_t + \tilde{k}(t) \sin \chi_t, \\ \hat{\chi}_{t+1} &= \hat{\chi}_t + \tilde{T} \hat{p}_{t+1}, \end{aligned} \quad (5.1)$$

где $\hat{p}_t, \hat{\chi}_t$ - операторы, удовлетворяющие коммутационному соотношению $[\hat{p}_t, \hat{\chi}_t] = -i\hbar$, \tilde{k} может зависеть от времени. При $\hbar = 0$ (5.1) переходит в отображение для классического ротатора (I.3). Далее $\hbar = t$.

Следует отметить, что в отображении (5.1) оператор $\hat{\chi}$ соответствует непрерывной фазе, меняющейся от $-\infty$ до ∞ . При этом в случае плоского ротатора оператор \hat{p} представим в виде $\hat{p} = -i \frac{\partial}{\partial \chi}$ /62/. Периодическую фазу φ , изменяющуюся в интервале от 0 до 2π , можно определить посредством соотношения $\hat{\varphi} = \Phi(\hat{\chi})$, где $\Phi(x)$ - периодическая (с периодом 2π) разрывная функция, причем, $\Phi(x) = x$ для $0 \leq x < 2\pi$ /62/. Поскольку $\hat{\varphi}_t = U^\dagger \Phi(\hat{\chi}_0) U = \Phi(\chi_t)$ (U - оператор эволюции (I.I)), то для произвольной периодической функции q (с

периодом 2π) имеет место соотношение $q(\hat{\psi}_t) = q(\hat{x}_t)$ и поэтому в дальнейшем достаточно ограничиться исследованием свойств оператора \hat{x}_t , однозначно определяющего $\hat{\psi}_t$.

Для анализа полученного отображения представим \hat{p}_t, \hat{x}_t в нормальной форме по отношению к начальным операторам \hat{p}_0, \hat{x}_0 (например, пусть все \hat{p}_0 стоят справа), после чего уже просто получить проекцию этих операторов на пространство начальных состояний. Такой метод исследования в квазиклассическом приближении был применен в /36/.

Оказывается, что для операторного отображения (5.1) удается получить точную нормальную форму \hat{p}_t, \hat{x}_t . Это позволяет показать, что корреляции в квантовой системе убывают не быстрее некоторой степени времени, а КС-энтропия квантовой системы равна нулю. Используя известное равенство (см., например, /63/)

$$\exp(\hat{a} + \hat{b}) = \exp(\hat{b} \frac{e^c - 1}{c}) \exp(\hat{a}) \quad (5.2)$$

для операторов с коммутационным соотношением $[\hat{a}, \hat{b}] = c\hat{b}$ получим

$$\begin{aligned} \hat{p}_1 &= \hat{p}_0 + k(0) \sin \hat{x}_0; \\ \hat{p}_2 &= \hat{p}_1 + \Delta \hat{p}_2; \\ \Delta \hat{p}_2 &= \frac{k(1)}{2i} \left\{ \sum_{m_0=-\infty}^{\infty} J_{m_0}(k_{1,0}) e^{i \frac{T}{2}(m_0+1)} e^{i(m_0+1)\hat{x}_0} e^{i\hat{p}_0 T} - \text{к.с.} \right\}, \end{aligned} \quad (5.3)$$

где $k_{1,0} = 2k(0) \sin T/2$, $J_{m_0}(k_{1,0})$ — функция Бесселя, к.с. — комплексносопряженный член. Из (5.1), (5.3) следует, что нормальная форма $\Delta \hat{p}_3 = k(2) \sin \hat{x}_2$ по отношению к \hat{p}_1, \hat{x}_1 получается из $\Delta \hat{p}_2$ заменой индексов $I \rightarrow 2, 0 \rightarrow I$. Применяя (5.2), получим из нее нормальную форму $\Delta \hat{p}_3$ по отношению к \hat{p}_0, \hat{x}_0 . Произвольное $\Delta \hat{p}_{t+1} = k(t) \sin \hat{x}_t$ полу-

чается из $\Delta \hat{p}_t$ рекуррентным способом. Так если \hat{p}_t , \hat{x}_t уже представлены в нормальной форме, то

$$\begin{aligned} \hat{p}_{t+1} &= \hat{p}_t + \Delta \hat{p}_{t+1} ; \\ \hat{x}_{t+1} &= \hat{x}_t + T \hat{p}_{t+1} ; \\ \Delta \hat{p}_{t+1} &= \frac{k(t)}{2i} \left\{ \sum_{m_0, m_1, \dots, m_{t-1} = -\infty}^{\infty} J_{m_0}(k_{1,t-1}) J_{m_1}(k_{2,t-2}) \dots \right. \\ &\quad \dots \times J_{m_{t-1}}(k_{t,0}) \exp(i\varphi_{m_0, \dots, m_{t-1}}) \times \\ &\quad \left. \times \exp(i\alpha_{m_0, \dots, m_{t-1}} \hat{x}_0) \times \exp(i\beta_{m_0, \dots, m_{t-1}} T \hat{p}_0) - \text{к.с.} \right\}, \end{aligned} \quad (5.4)$$

где

$$\begin{aligned} \varphi_{m_0} &= \frac{T}{2}(1+m_0); \\ \alpha_{m_0} &= m_0 + 1; \quad \beta_{m_0} = 1; \\ \varphi_{m_0, \dots, m_n} &= \varphi_{m_0, \dots, m_{n-1}} + \frac{T}{2} m_n (\alpha_{m_0, \dots, m_{n-1}} + \beta_{m_0, \dots, m_{n-1}}) + \frac{T}{2} \alpha_{m_0, \dots, m_{n-1}}^2; \\ \alpha_{m_0, \dots, m_n} &= \alpha_{m_0, \dots, m_{n-1}} + m_n; \quad \beta_{m_0, \dots, m_n} = \alpha_{m_0, \dots, m_{n-1}} + \beta_{m_0, \dots, m_{n-1}}; \\ k_{n,t} &= 2k(t) \sin \frac{T}{2} \beta_{m_0, \dots, m_{n-1}}. \end{aligned}$$

Для исследования полученного отображения спроектируем (5.4) на базис начальных состояний $\Psi_n(x_0) = (2\pi)^{-1/2} e^{in x_0}$. Тогда (5.4) переходит в S -числовое отображение (с заменой \hat{p}_0 на $\hbar n$), которое можно рассматривать как отображение описывающее динамику некоторой классической системы, для которой средние значения \hat{p}_t , \hat{x}_t ($\langle p_t \rangle = \frac{1}{2\pi} \int_0^{2\pi} p_t(n, x_0) dx_0$) совпадают с квантовыми средними и которая при $\hbar \rightarrow 0$ переходит в классическую систему с отображением (I.3) с $\tilde{k} = \tilde{k}(t)$. Таким образом для понимания свойств квантовой системы следует изучить классическую систему описываемую отображением (5.4), где p_0 и x_0 — S -числа.

Отметим, что полученное отображение не сохраняет якобиан $J = \frac{\partial(\rho_t, x_t)}{\partial(\rho_0, x_0)}$ (при $\hbar = 0$, $J = 1$), который со временем осциллирует, что указывает на наличие "затухания" с переменным знаком и негамильтоновость отображения (5.4). Более подробно свойство негамильтоновости получаемых таким методом отображений обсуждалось впоследствии в /64/.

Рассмотрим случай, когда $k(t) = k = \text{const}$. В классике ($\hbar = 0$) $m_0 \sim kT$, $m_1 \sim m_0 kT \sim (kT)^2$ и т.д. Поэтому $\alpha_{m_0, \dots, m_{t-1}} \sim (kT)^t$, $\frac{\partial x_t}{\partial x_0} \sim \alpha_{m_0, \dots, m_{t-1}} \sim (kT)^t$ и близкие траектории экспоненциально быстро расходятся. При $\hbar \neq 0$ для $t < t_s$,

$$t_s \sim \frac{\ln(\tilde{k}/\hbar)}{\ln(kT)}, \quad (5.5)$$

т.е. пока $T\beta_{m_0, \dots, m_{t_s}} \ll 1$, синус в функции Бесселя в (5.4) можно заменить аргументом и тогда попеременно имеет место локальная неустойчивость близких траекторий. Когда $t > t_s$ воспользуемся тем, что в (5.4) $|m_n| \leq 2k$ (иначе $J_{m_n}(k)$ - экспоненциально мал) и следовательно $|\alpha_{m_0, \dots, m_{t-1}}| \leq 2kt$, $|\beta_{m_0, \dots, m_{t-1}}| \leq 2kt^2$. Тогда при $t > t_s$ $d/d_0 \sim \frac{\partial x_t}{\partial x_0} \sim (|\beta_{m_0, \dots, m_{t-1}}| + |\alpha_{m_0, \dots, m_{t-1}}|) \leq 2kt^2$ и энтропия h убывает со временем согласно

$$h \sim \frac{\ln k + 2 \ln t}{t} \quad (5.6)$$

Таким образом для системы (I.I) энтропия равна нулю и значит (I.I) не является K-системой, хотя в то же время для соответствующей классической системы $h \approx \ln\left(\frac{kT}{2}\right) > 0$ ($kT > 4$) /6/. Отметим, что при $k(t) = k(0)t^\alpha$ энтропия также стремится к нулю по закону близкому к (5.6) (перед $\ln t$ стоит другая константа).

Рассмотрим теперь как ведут себя разновременные корреляторы в квантовой системе (I.I): $R(t, n, q) = \frac{1}{2} \langle n | e^{-iq\hat{x}_0} e^{i\hat{x}_t} +$

+ $e^{i\hat{x}_t} e^{-iq\hat{x}_0} |n\rangle$, где среднее берется по начальному состоянию $\Psi_n(x_0) = (2\pi)^{-1/2} \exp(inx_0)$. Из (5.4) получаем выражение для $R(t, n, q)$ ($k = \text{const}$):

$$R(t, n, q) = \frac{1}{2} \sum_{m_0, \dots, m_{t-1}} J_{m_0}(k_1) J_{m_1}(k_2) \dots J_{m_{t-1}}(k_t) \cdot \exp(i\varphi_{m_0, \dots, m_{t-1}}) \exp(i\beta_{m_0, \dots, m_{t-1}} T n) \cdot (1 + \exp(-i\beta_{m_0, \dots, m_{t-1}} T q)) \delta_{\alpha_{m_0, \dots, m_{t-1}}, q}. \quad (5.7)$$

При $t < t_s$ квантовыми поправками в (5.7) можно пренебречь и воспользоваться классическим значением R . Тогда $R(t, n, q) \sim e^{-\delta t}$ где $\delta \sim \frac{1}{2} \ln(kT)/4,36$. К моменту $t \sim t_s$ (5.5) корреляции достигают величины $R(t_s, n, q) \sim k^{-1/2}$ и для дальнейшего вычисления R надо использовать точное выражение (5.7), что представляет значительные трудности. Поэтому ограничимся лишь определением нижней границы для $|R(t, n, q)|$.

Для нахождения максимально возможной скорости убывания $R(t, n, q)$ воспользуемся условием унитарности оператора $e^{i\hat{x}_t}$ и тождеством $\langle n | \exp(-i\hat{x}_t) \exp(i\hat{x}_t) | n \rangle \equiv 1$, из которого имеем: $\exp(i\hat{x}_t) | n \rangle = (\sum_{m=-\infty}^{\infty} A_m^{(n)} e^{imx_0}) | n \rangle$ и $\sum_{m=-\infty}^{\infty} |A_m^{(n)}|^2 = 1$. Но из (5.4) следует (т.к. $\alpha_{m_0, \dots, m_{t-1}} \sim kt$), что сумма по m содержит $m_{\max} \sim kt$ членов ($A_m^{(n)}$ с $|m| > m_{\max}$ экспоненциально малы). Предполагая, что все A_m с $|m| < m_{\max}$ одного порядка (в противном случае найдется q с $|q| < m_{\max}$, для которого корреляции будут убывать медленнее чем (5.8)) и используя точное равенство $R(t, n, q) = \frac{1}{2} (A_q^{(n)} + A_q^{(n-q)})$, получим для $t \gg t_s$:

$$|R(t, n, q)| \geq \frac{1}{\sqrt{kt}}. \quad (5.8)$$

В случае $k(t) = kt^d$ в (5.8) надо сделать замену $t \rightarrow t^{1+d}/(1+d)$.

Отметим, что хотя уже через время $t \sim t_s$ классическое значение коррелятора будет отличаться от квантового (при срав-

нении рассматриваем область квазиклассики) абсолютная величина коррелятора будет малой $R \sim \sqrt{\hbar/\kappa}$ и поэтому величины, не уменьшающиеся в классике (например, энергия ротатора $E = \langle n | \frac{1}{2} \hat{p}_t^2 | n \rangle$), будут отличаться на малую величину $\sim (\hbar/\kappa)^{1/2}$ в течение времени $t_0 \propto \hbar^{-1}$ (число одновременных корреляторов в выражении для E растёт со временем по степенному закону).

Таким образом, в динамике СКС можно явно выделить два временных масштаба t_s и t^* (или t_0), о которых говорилось выше. Так в течение времени $t < t_s$ движение квантовой системы полностью случайно, энтропия h близка к своему классическому значению, корреляции как и в классике затухают экспоненциально. При этом в области квазиклассики квантовые средние (например, $E(t)$ или $R(t, n, q)$) могут быть представлены в виде формального ряда Тейлора по степеням \hbar . На примере такого разложения для $R(t, n, q)$ в (5.7) видно, что в области стохастичности $kT \gg 1$ квантовые поправки к основному (классическому) члену в таком тейлоровском разложении нарастают со временем экспоненциально (ранее такой результат для модели (4.1) был получен в /36,45,50/). Тем не менее полная квантовая поправка к классическим средним оказывается малой по абсолютной величине ($\propto O(\hbar)$, см. выше §§ 5,2) в течение значительно большего интервала времени $t_0 \gg t_s$ (ср. (2.10) и (5.5)). Причина этого заключается, по-видимому, в различной структуре квазиклассического разложения для средних и для волновой функции. В то время как выражение для средних на малых временах представимо в виде степенного ряда по \hbar , квазиклассическое представление для волновой функции уже сразу является неаналитическим по \hbar . Преимущество такого представления связано видимо с тем, что в СКС при $t \geq t_s$ точное выражение для средних оказывается неаналитическим по \hbar . Так, например, выражение

(5.7) при $t \sim t_s$ содержит неаналитические члены $\propto e^{i\psi_{m_0, \dots, m_{t_s}}} \propto e^{ik}$ ($m_{t_s} \sim (kT)^{t_s}$). Таким образом, Тейлоровское разложение для средних через время t_s оказывается неприменимым. В то же время квантовые поправки в разложении для Ψ малы вплоть до $t \sim t_0 \gg t_s$, а неаналитичность Ψ сказывается в выражении для средних только в интерференционных членах, вклад которых может быть оценен и оказывается малым $\propto 0(\hbar^{1/2})$ (см. § 2). Интересно однако отметить, что относительная величина поправок для некоторых характеристик, например, для $R(t, n, q)$, оказывается большой через $t \sim t_s$. При $t \gg t_s$ в квантовой системе уже отсутствует экспоненциальное затухание корреляций, а КС-энтропия $h = 0$. Таким образом, статистические свойства СКС оказываются значительно более слабыми чем в классическом случае.

Здесь следует заметить, что причиной степенного убывания корреляций является степенной рост числа гармоник χ в U со временем, или другими словами - числа заселенных уровней невозмущенной системы (один толчок захватывает $\approx 2k$ уровней). Ввиду этого число гармоник χ в $\hat{p}_t = U^+(-i\hbar \frac{\partial}{\partial x})U$ также растет степенным образом, что и приводит к $h = 0$ и неэкспоненциальному затуханию корреляций. Поскольку указанное свойство U имеет место практически для всех возмущений, то естественно ожидать, что и другие квантовые системы, стохастические в классическом пределе, будут обладать равной нулю КС-энтропией и степенным убыванием корреляций. Это подтверждается результатом работы /48/, где было показано, что в модели (4.1) $h = 0$, а для скорости затухания корреляций было получено ограничение аналогичное (5.8). Полученные в этом параграфе результаты указывают на то, что обобщение понятия колмогоровской энтропии на квантовые

системы /34,35/ не оказывается столь же важным, как в классических системах.

§ 6. Квантовые корреляции в модели ротатора.

Для исследования свойств корреляций в квантовой модели (I.I) были проведены численные эксперименты /53/ в которых вычислялись корреляции

$$R_t(\tau) = \langle 0 | \cos \hat{\chi}_t \cos \hat{\chi}_{t+\tau} + \cos \hat{\chi}_{t+\tau} \cos \hat{\chi}_t | 0 \rangle, \quad (6.I)$$

где $\cos \hat{\chi}_t = U_t^+ \cos x U_t$ - гейзенберговский оператор в момент времени t , U_t - оператор эволюции гамильтониана (I.I), $\langle 0 | \dots | 0 \rangle$ - означает среднее по начальному состоянию. В принципе можно рассматривать и другие корреляции, например, корреляции $\sin \hat{\chi}$. Качественное поведение корреляций $\sin \hat{\chi}$ такое же как и для $\cos \hat{\chi}$ за исключением одной особенности, о которой будет сказано ниже (см. § 8).

Численный алгоритм нахождения корреляций заключался в определении волновых функций $\Psi_t = U_t | 0 \rangle$, $\Psi_{t+\tau} = U_{t+\tau} \cos x \Psi_t$, $\Psi_{t+\tau} = U_{t+\tau} | 0 \rangle$ по уравнению (I.6) методом описанным в /49,46/ и дальнейшем вычислении среднего $2\text{Re}(\langle \Psi_{t+\tau} | \cos x | \Psi_{t+\tau} \rangle) = R_t(\tau)$.

Результаты численных экспериментов представлены в таблице 3. В ней проведено сравнение классических R_{cl} и квантовых корреляций R_q при $t=0$, $0 \leq \tau \leq 7$ (см. (6.I)) в случае начального классического состояния: $p=0$, $0 \leq x \leq 2\pi$ ($R_{cl} = \frac{1}{\pi} \int_0^{2\pi} \cos x \cos x_{t+\tau} dx$) и соответствующего квантового: $\Psi(x,0) = (2\pi)^{-1/2}$. Из этих данных видно, что при $kT = 5, 5+2\pi$, когда мера островков устойчивости пренебрежимо мала /6/, классические корреляции при $\tau \leq 7$ очень быстро затухают со временем. При этом квантовые корреляции близки к классическим только для $\tau \leq t_s \approx 3$, а при $\tau \geq t_s$ они различаются в несколько раз.

Таблица 3

τ	R_{cl}	R_q/R_{cl} $k=5$	R_q/R_{cl} $k=20$	R_q/R_{cl} $k=40$	R_q/R_{cl} $k=100$
0	I	I	I	I	I
$kT = 2$					
I	0.5767	0.9880	0.9993	0.9998	I.0000
2	0.4986	0.965I	0.9976	0.9994	0.9998
3	0.96I4	0.9753	0.9982	0.9996	0.9999
4	0.6794	I, I785	I.0745	I.0294	I.0053
5	0.5688	I.5397	I.0742	0.9552	0.9754
6	0.6504	0.937I	0.9294	I.I233	I.0I52
7	0.7648	0.8375	I.0365	0.9678	0.9946
$kT = 5$					
I	-0. I3I0	0.83I3	0.9908	0.9977	I.0000
2	0.0I229	I4.9880	7.4768	2.7307	0.9723
3	0.3384	2.0254	0.8543	I.0774	0.9069
4	0.08002	5.4849	2.7656	I.492I	I.3884
5	0.09999	I.070I	2.3252	I.5372	0. I946
6	0.09I67	2.5472	I.994I	2.4490	0.3505
7	0.00965	82.404	-3.8520	I2.6I5	II.703
$kT = 5+2\pi$					
I	-0.03770	-0.6053	0.8963	0.9756	0.9960
2	0.08725	-4.0I83	0.04544	I.0256	0.90I2
3	0. I389	I.7423	I.4I04	I.I857	0.2I9I
4	0.0I64I	-5.6684	0.4I88	4.4308	0.2732
5	0.0I945	-9.3060	-9.4807	4.985I	2.0925
6	0.02I84	0.6062	2. I323	8.0998	-3.07I4
7	0.00752	33.524	8.7I8I	I9.6676	-I. I330

Теоретическое значение t_s (5.5) также оказывается равным всего нескольким толчкам, что согласуется с результатами численных экспериментов. При этом, например, для $k = 40.0$, $kT = 5$ энергия квантового ротатора отличается от классического значения менее чем на 25% в течение времени $t^* = 120 \gg t_s \approx 3$. В случае $kT = 2$, когда меры устойчивой и стохастической компонент оказываются приблизительно одинаковыми, классические корреляции не затухают со временем и различие между R_{cl} и R_q остается меньшим 20% в течение времени $\tau \approx 100 \gg t_s \approx 3$ ($k = 40$). Таким образом, характеристики не уменьшающиеся со временем экспоненциально, например, энергия ротатора, корреляции при $kT = 2$, оказываются близкими в течение времени $t^* \gg t_s$. Отметим, также, что в области устойчивости $kT = 0.5$ ($k = 20$) отличие квантовых и классических корреляций оказывается на уровне 0.1% для $\tau \approx 20$ (при $k = 5$, $\tau \approx 20$ на уровне 10%).

Типичный вид поведения квантовых корреляций представлен на рис.9. Видно, что имеются остаточные корреляции не уменьшающиеся со временем. Величина этих корреляций уменьшается с ростом k , но явный вид зависимости от k проследить не удастся ввиду резкого возрастания требуемой памяти и времени счета с k .

Величину остаточных корреляций можно оценить следующим образом. Пусть $\tau \gg t^*$. Тогда волновая функция $|\Psi\rangle = e^{\pm i\chi} U_\tau^\dagger e^{\pm i\chi} U_\tau |0\rangle$ содержит приблизительно $\sqrt{k^2 t^*}$ гармоник χ (при $\tau \gg t^*$ рост энергии практически прекращается). Т.к. $\langle \Psi | \Psi \rangle = 1$, то средняя амплитуда гармоник Q определяется из условия $Q^2 \sqrt{k^2 t^*} \sim 1$. Тогда из соотношения $R(\tau) \sim \langle 0 | \Psi \rangle \sim Q$ и (3.6) получаем оценку

$$|R_t(\tau)| \sim (k^2 t^*)^{-\frac{1}{4}} \sim k^{-1}, \quad t + \tau \gg t^* . \quad (6.2)$$

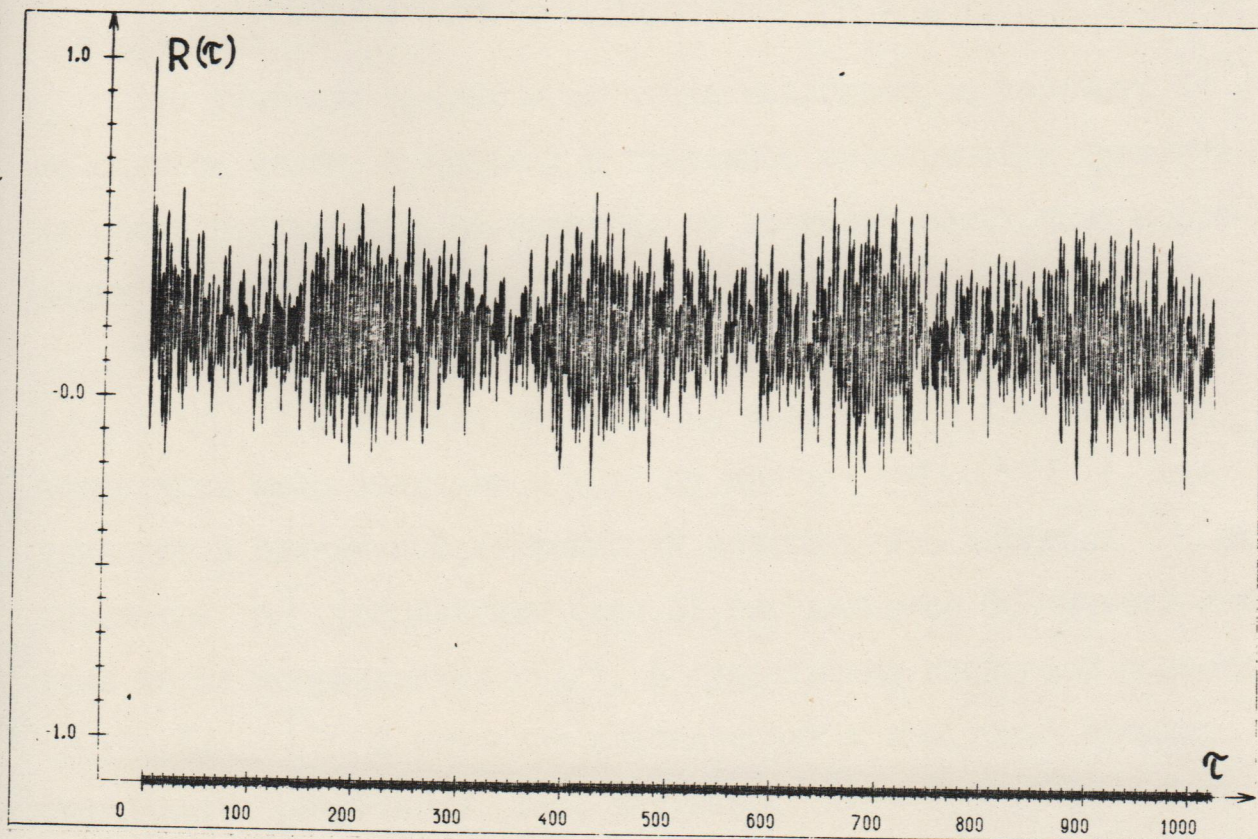


Рис.9. Зависимость квантовых корреляций R (см. (6.1)) от τ для системы (1.1) при $k = 5$, $kT = 5$, $t = 100$, $\tau = 1024$.